



Génération de dual-combs dans les boucles à décalage de fréquence. Quelques exemples d'applications aux capteurs et au traitement de signaux

#### H. Guillet de Chatellus

Univ Rennes, CNRS, Institut FOTON - UMR 6082, 35000 Rennes, France

1)	Peignes de fréquences	s dans les boucles	à décalage	de fréquence
----	-----------------------	--------------------	------------	--------------

- 2) Dual-comb pour la télémétrie Lidar
- 3) Dual-comb pour les capteurs à fibre distribués
- 4) Corrélation de signaux large bande
- 5) Analyse spectrale de signaux large bande

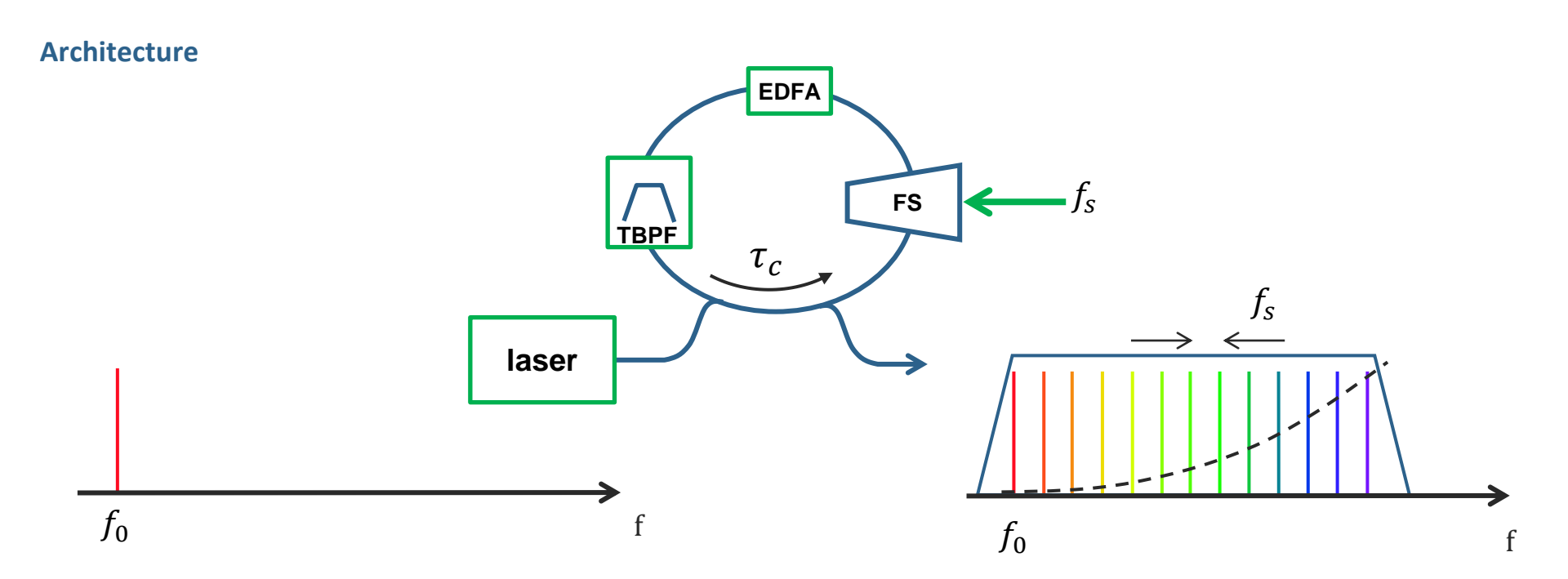


1)	Peignes de	fréquences	dans les	boucles à	à décalage	e de fréquenc	ce
----	------------	------------	----------	-----------	------------	---------------	----

- 2) Dual-comb pour la télémétrie Lidar
- 3) Dual-comb pour les capteurs à fibre distribués
- 4) Corrélation de signaux large bande
- 5) Analyse spectrale de signaux large bande



## Boucles à décalage de fréquence (BDF)



#### Champ électrique en sortie

$$E_{out}(t) = E_0 \sum_{0 \le n \le N} g(n) e^{-i2\pi(f_0 + nf_S)t} e^{i2\pi \left(nf_0 + \frac{n(n+1)}{2}f_S\right)\tau_C}$$
 phase spectrale du peigne quadratique

- $\checkmark$  peignes de fréquences, d'espacement  $f_{S}$
- ✓ phase spectrale quadratique (équivalente à GVD) régie par :  $f_s \tau_c$ .

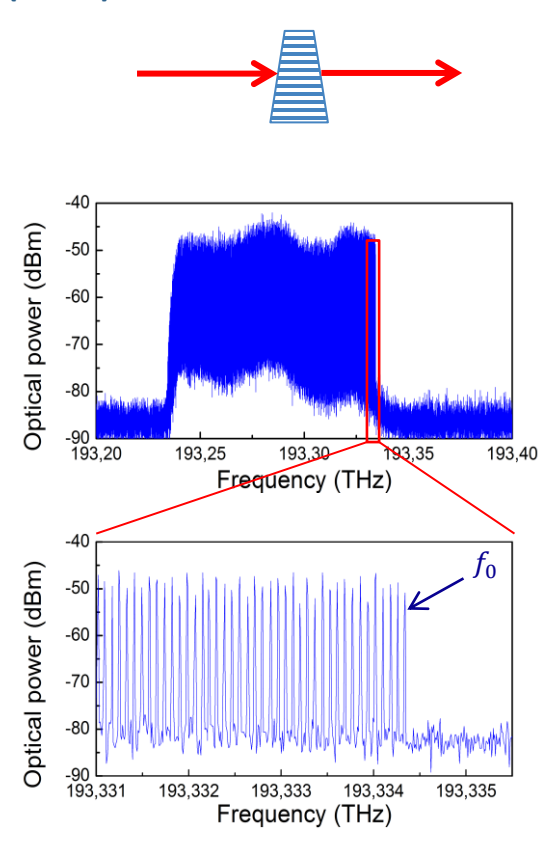


## Génération de peignes de fréquences dans les BDF

-90

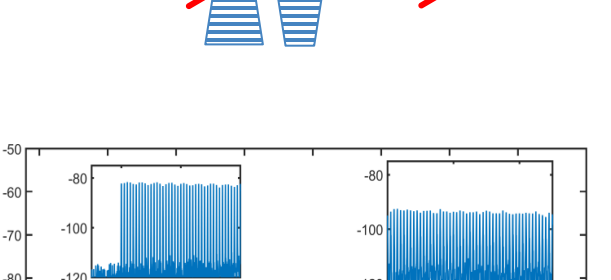
-100

## Modulateur acousto-optique simple (AOFS)



•  $f_S = -80 \text{ MHz}$ , 1200 lignes

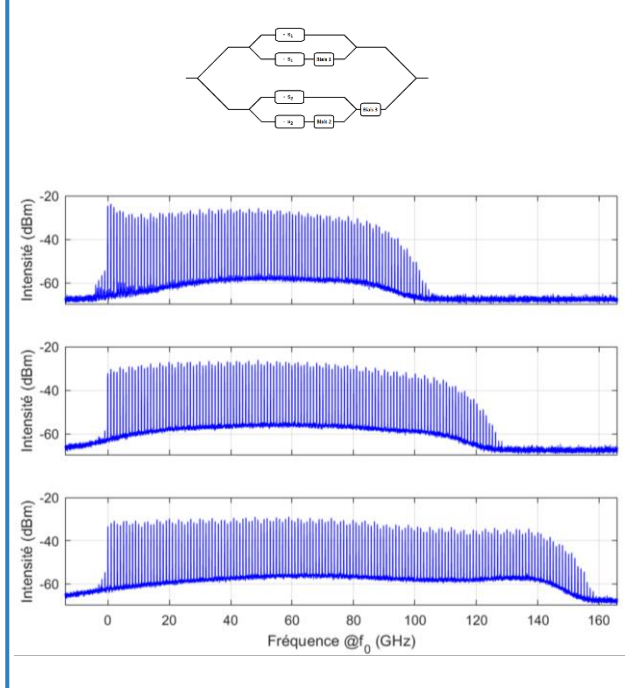
# Modulateur acousto-optique double (AOFS)



Baseband Frequency [MHz]

•  $f_s = 50 \text{ kHz}$ , 800 lignes

# Modulateur électro-optique (SSB-MZM)



•  $f_S = 1$  GHz, 120 lignes



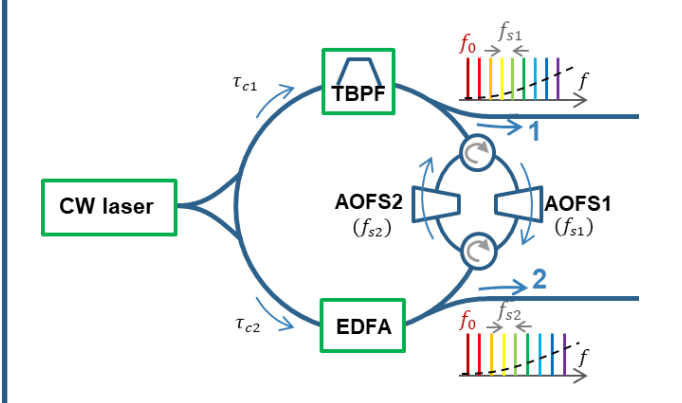
- 2) Dual-comb pour la télémétrie Lidar
- 3) Dual-comb pour les capteurs à fibre distribués
- 4) Corrélation de signaux large bande
- 5) Analyse spectrale de signaux large bande



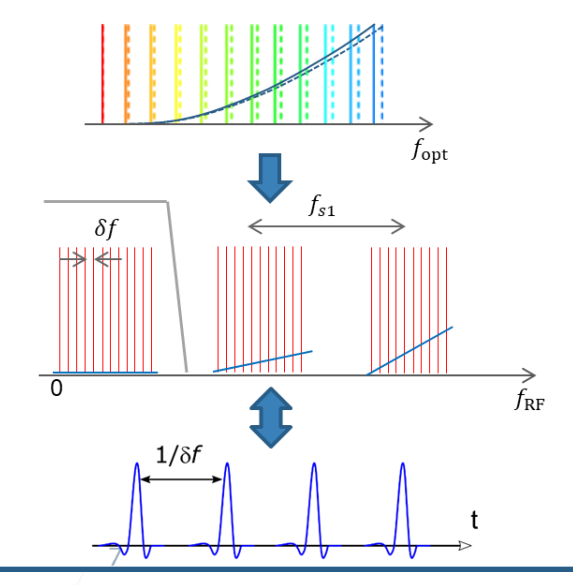
## « Duals comb » dans les BDF

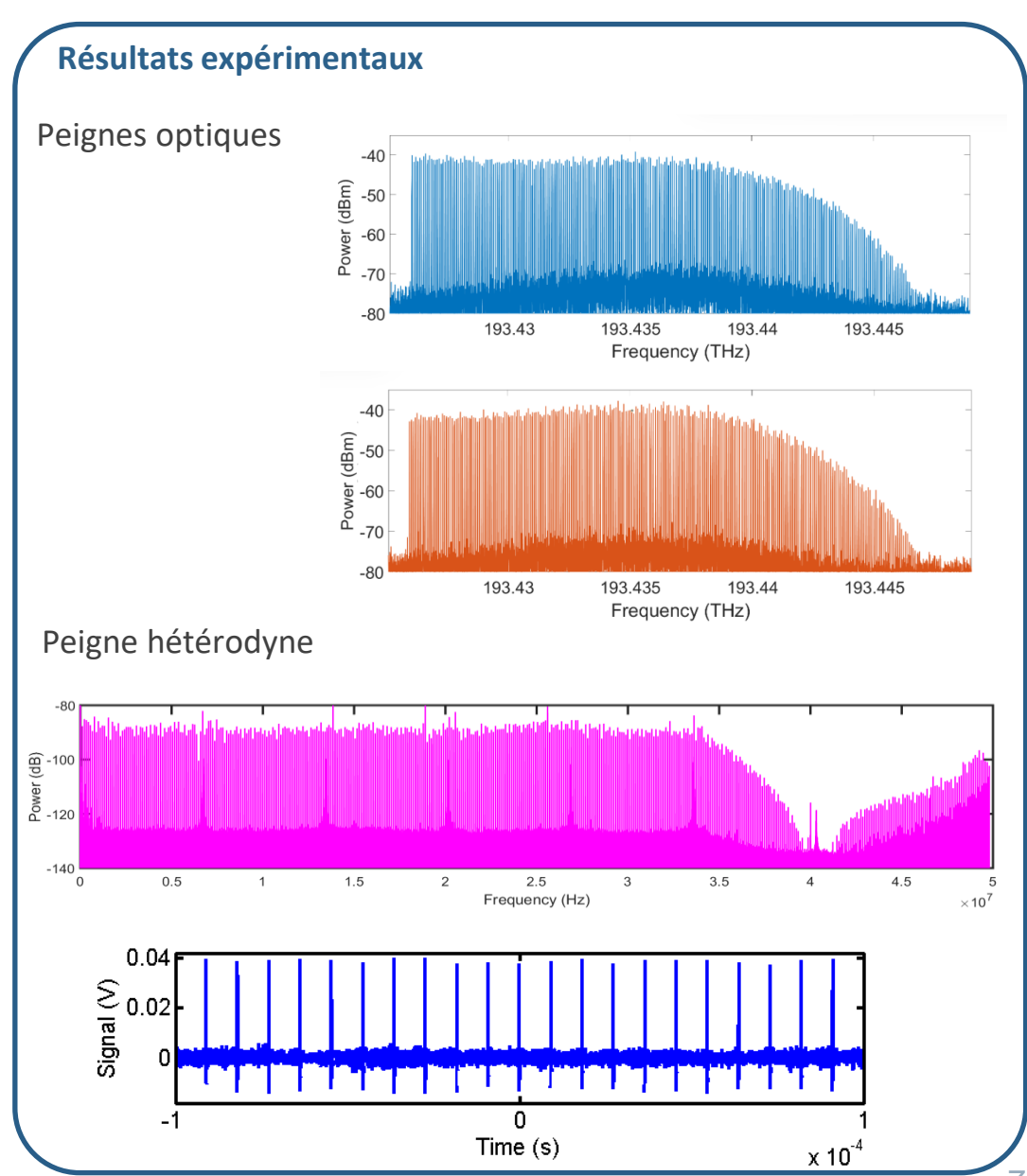
#### **Principe**

Génération de deux peignes mutuellement cohérents, d'espacements $f_{s1}$ ,  $f_{s2} = f_{s2} + \delta f$ 

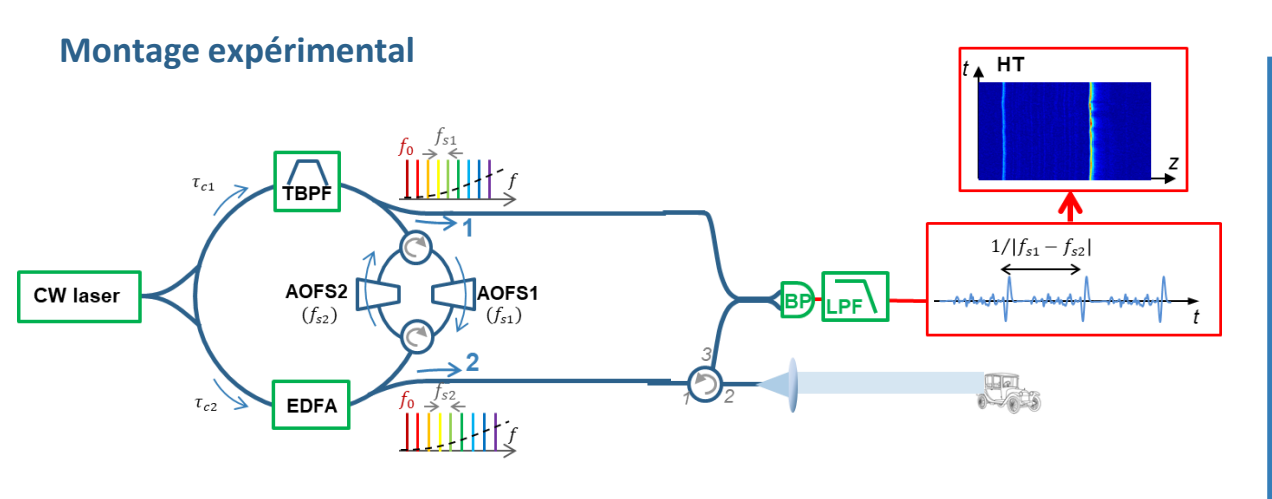


#### Interférométrie multi-hétérodyne

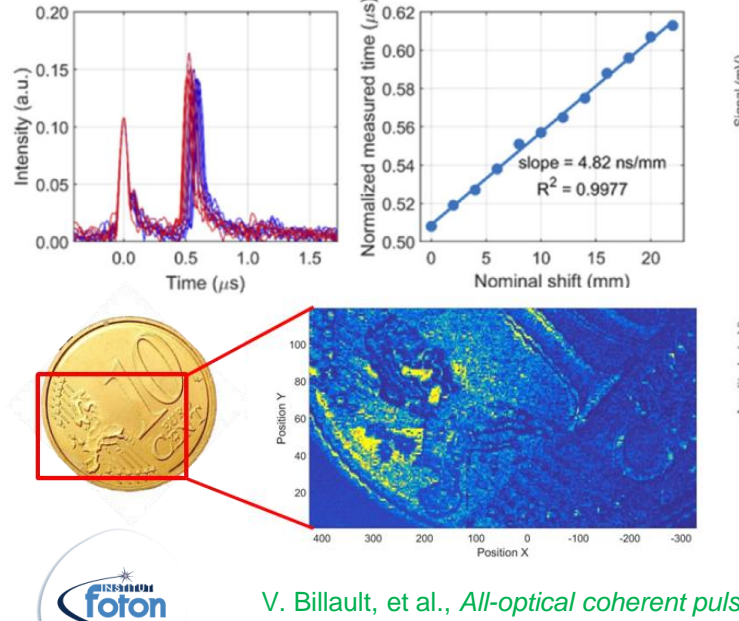




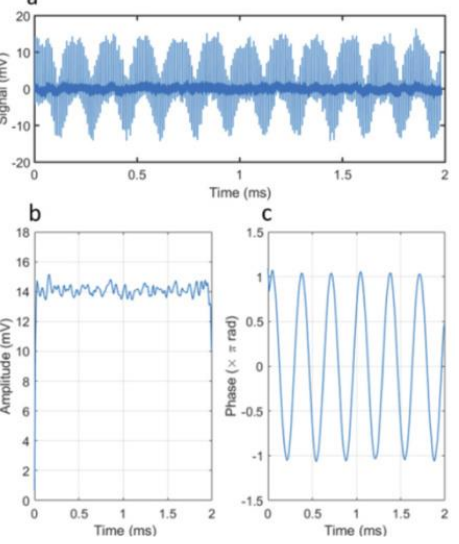
## Télémétrie Lidar dual-comb



#### Mesures d'amplitude



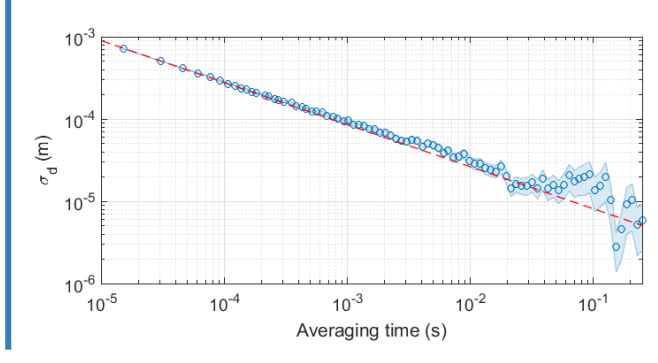
#### Mesures de phase



#### **Performances**

- résolution : < 1 cm</li>
   (largeur spectrale du peigne : 16 GHz)
- BP de détection < 10 MHz
- distance d'ambiguïté: 2 m (espacement du peigne : 80 MHz)
- taux d'acquisition : 50  $\mu$ s (différence d'espacement :  $\delta f$  = 20 kHz)

#### Précision de la mesure



V. Billault, et al., *All-optical coherent pulse compression for dynamic laser ranging using an acousto-optic dual comb*, Opt. Express **29**, 21369-21385 (2021)

#### ANR COCOA (ANR-21-CE42-0025)

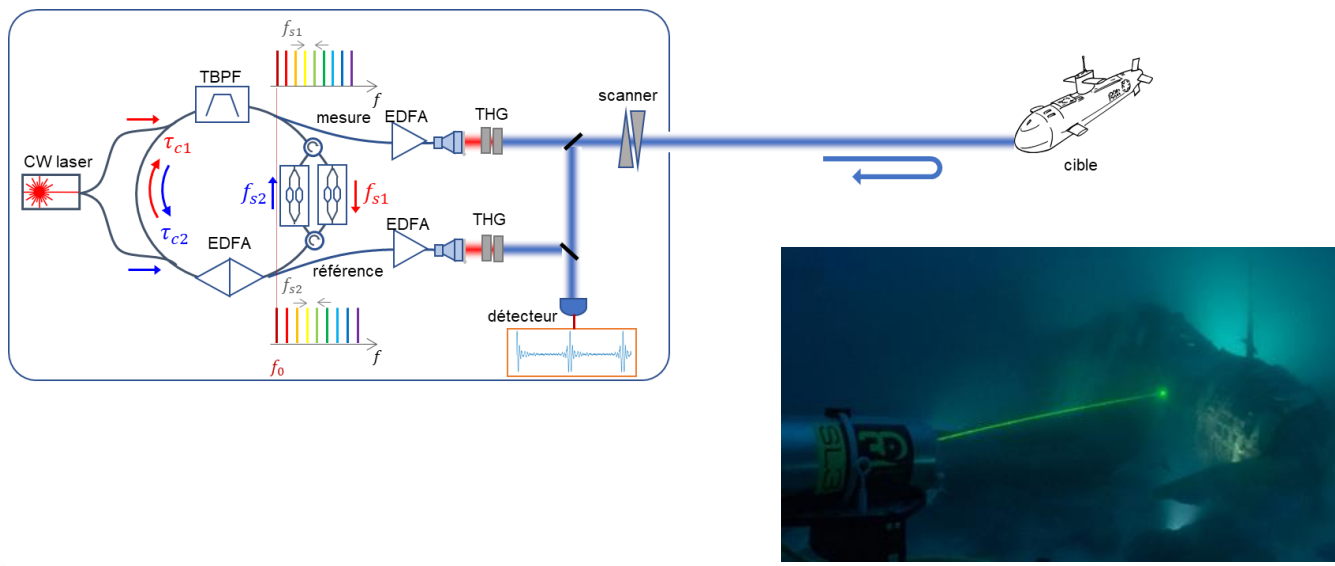


Lidar cohérent à compression d'impulsions analogique toutoptique

(H. Guillet de Chatellus, LIPhy, FOTON), 2021-2025

 ANR Astrid RACOON (ANR-23-ASZC-0002)
 Lidar dual-comb cohérent adapté au milieu marin (M. Brunel, FOTON), 2023-2027





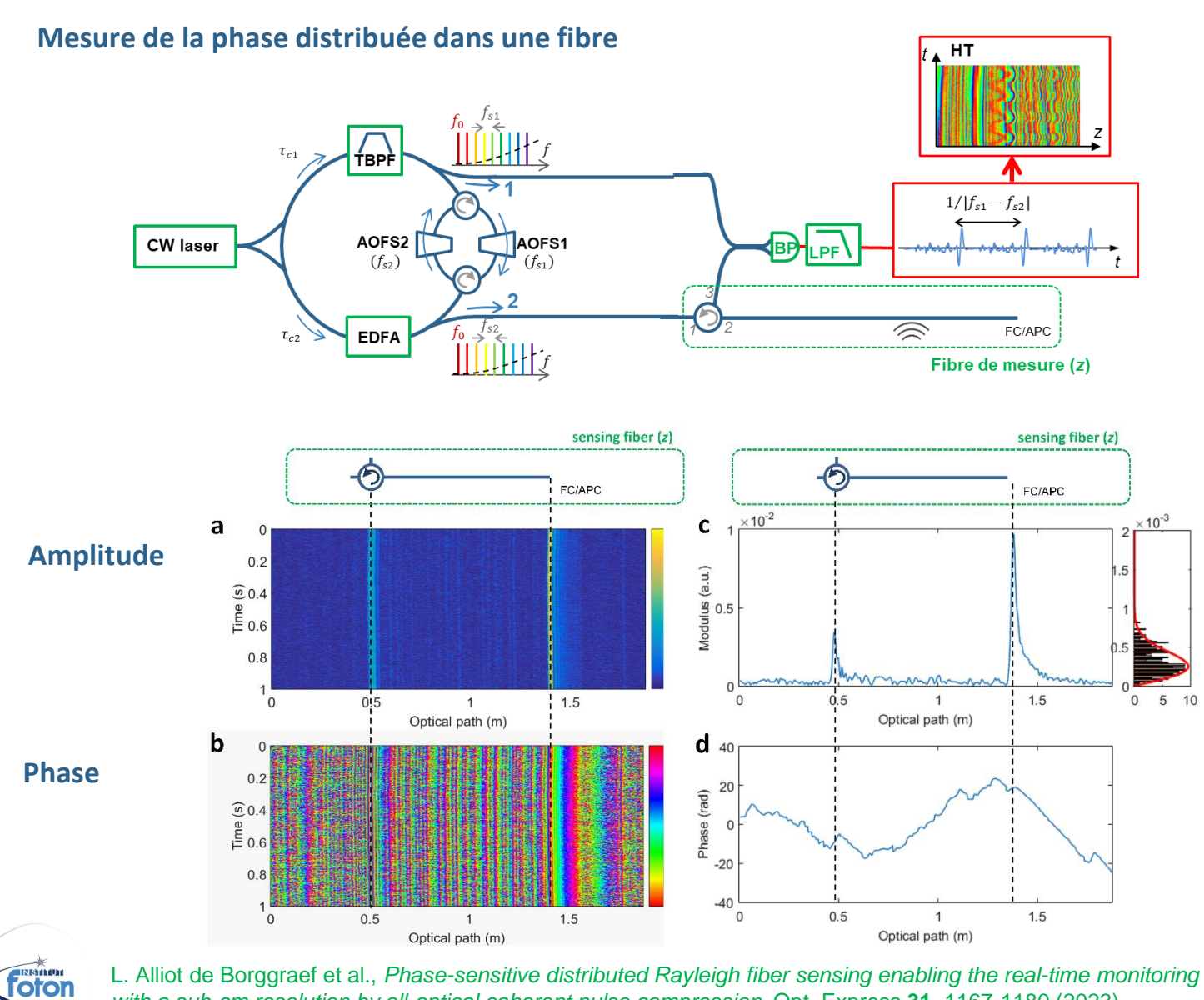


<ol> <li>Peignes de fréquences dans les boucles à décalage de fréqu</li> </ol>	uence
--	-------

- 2) Dual-comb pour la télémétrie Lidar
- 3) Dual-comb pour les capteurs à fibre distribués
- 4) Corrélation de signaux large bande
- 5) Analyse spectrale de signaux large bande



## Capteurs à fibre distribués dual-comb





## Extraction de la variation d'indice

#### Méthode

Indice local:

$$n(z) = n_0 + \epsilon(z)$$

Signal de détection:

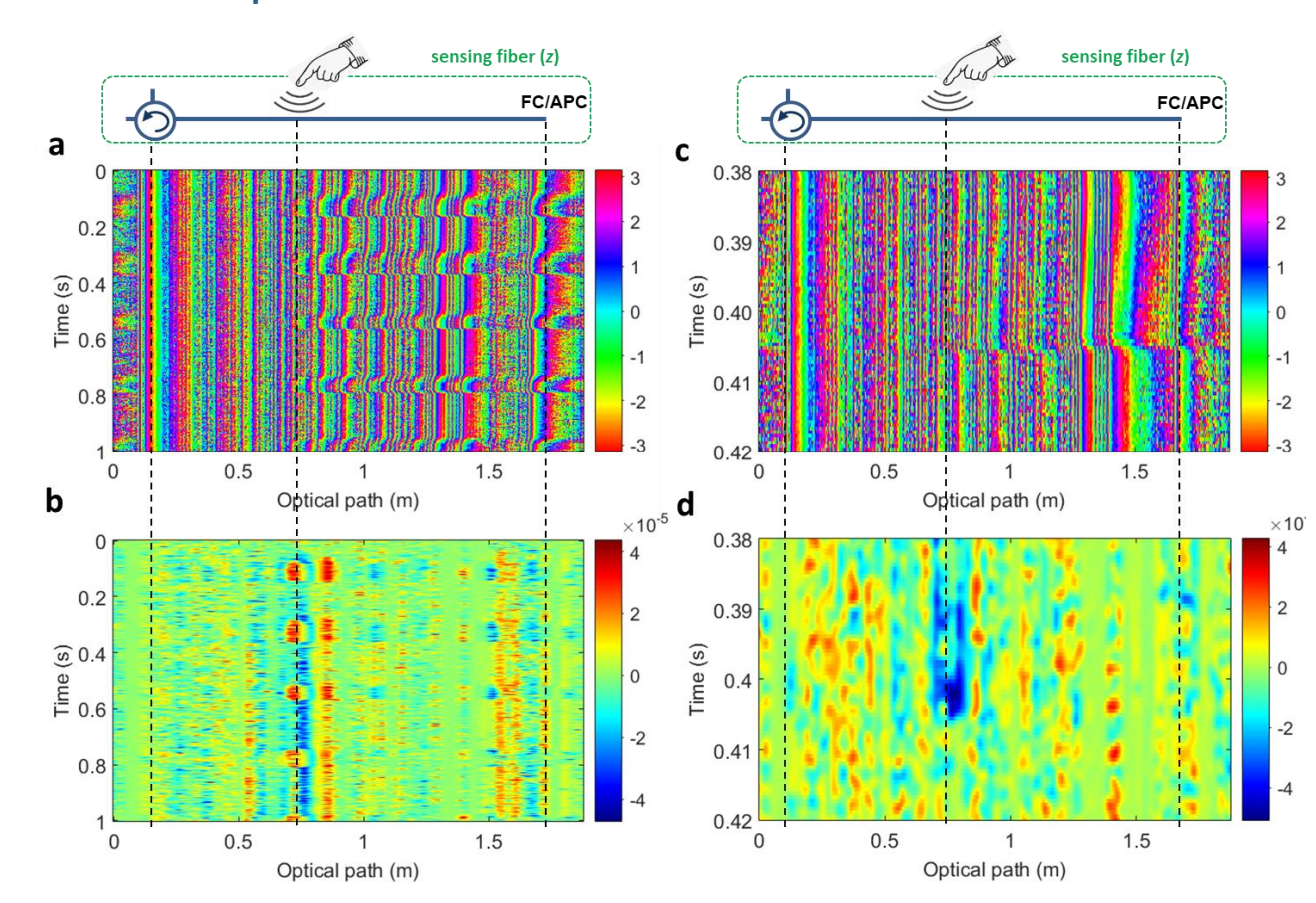
$$I(t) = I_{\text{ref}}(t) \times e^{i4\pi \frac{f_0}{c} \int_0^{\frac{c\Delta f}{2n_0 f_{s2}} t} \epsilon(z) dz}$$

Extraction de l'indice local:

$$\epsilon(z) = \frac{1}{4\pi} \frac{c}{f_0} \frac{d\phi(z)}{dz}$$

+ filtrage/moyenne

#### Résultats expérimentaux





Fibre PM commerciale (Rayleigh: -100 dB/mm)

résolution indice :  $10^{-5}$ , résolution temporelle : 1 ms résolution spatiale : 2 cm distance d'ambiguïté : 1.4 m



ANR Astrid MECHOUI (ANR-22-ASTR-0026)



Mesure d'écoulement à haute résolution par boucle à décalage de fréquence bidirectionnelle (<u>V. Crozatier</u>, Thales TRT, FOTON, LIPhy, ENSTA), 2022-2026





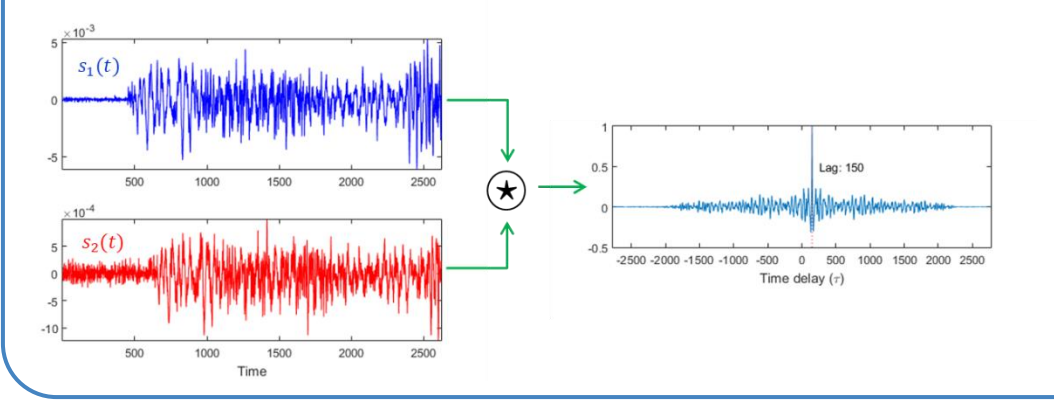
1)	Peignes de fréquences	s dans les boucles	à décalage	de fréquence
----	-----------------------	--------------------	------------	--------------

- 2) Dual-comb pour la télémétrie Lidar
- 3) Dual-comb pour les capteurs à fibre distribués
- 4) Corrélation de signaux large bande
- 5) Analyse spectrale de signaux large bande



#### Fonction de corrélation croisée (FCC):

Mesure du degré de similarité de deux signaux en fonction leur retard  $\tau$ :  $C_{1,2}(\tau) = \langle s_1(t)s_2(t+\tau) \rangle$ 



# Applications: Localisation d'émetteurs Interférométrie

#### Approche numérique :

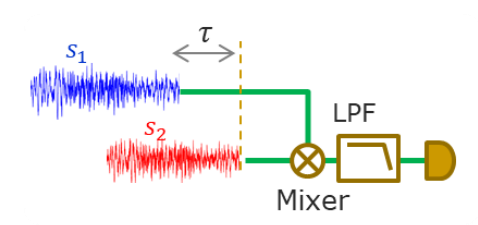
- Numérisation :  $f_{\acute{e}ch}$ 

- Calcul à la volée :  $2 \times N \times f_{\acute{e}ch}$  ops /s

(N : nombre de points de la FCC / nombre de retards)

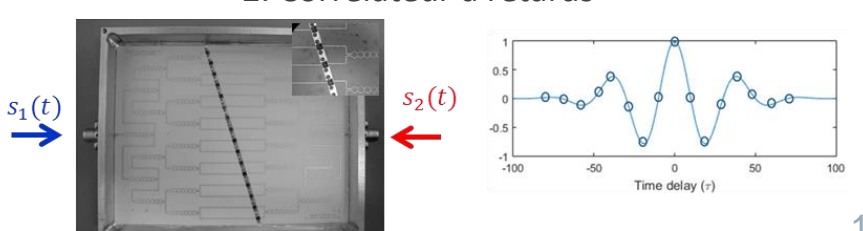
#### **Approches analogiques:**

1. « Scanning correlator »



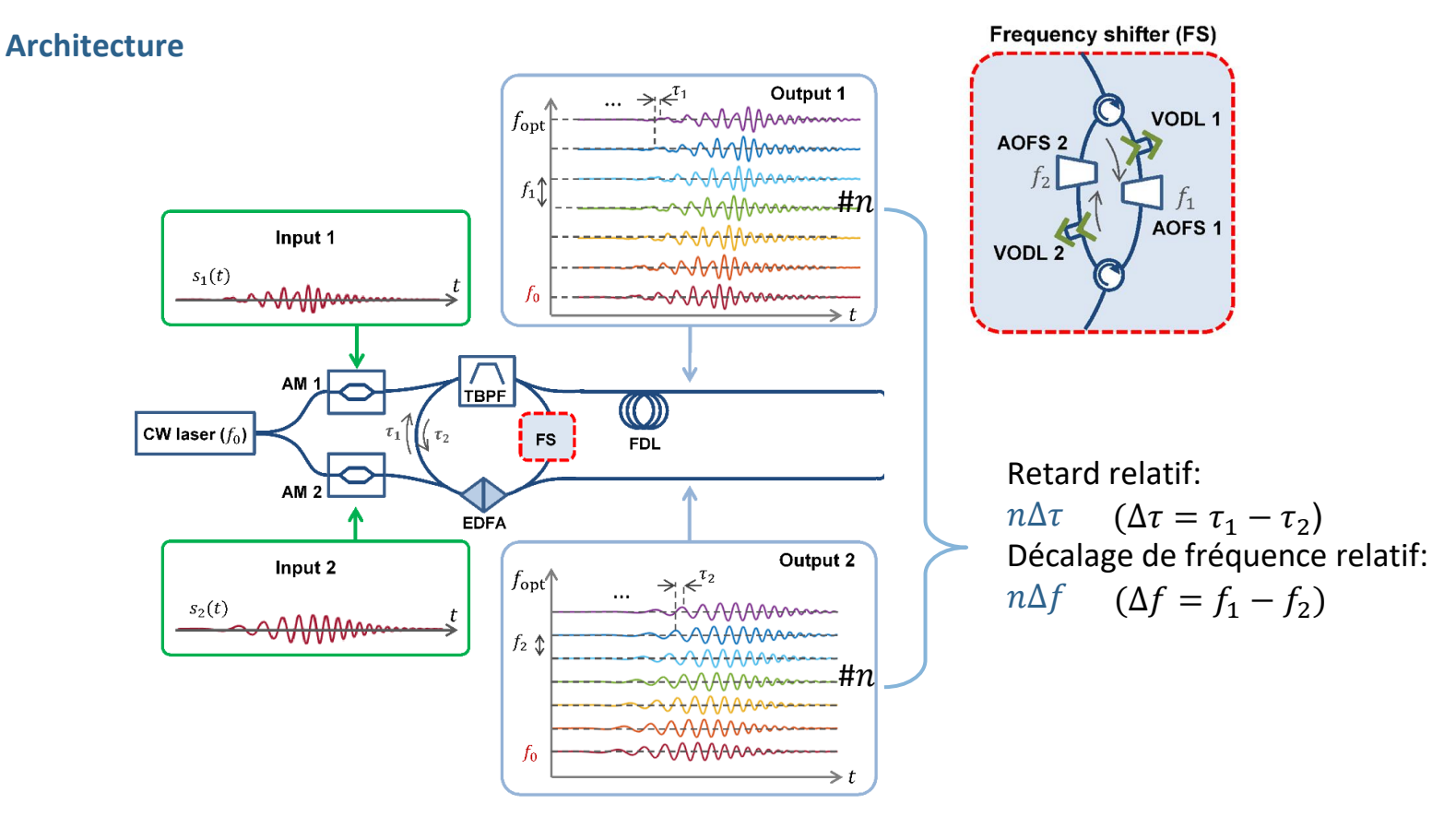
2. Corrélateur à retards

 $\{T_1, T_2, T_3\}$ 



Holler, IEEE TIM (2011)

## Corrélation de signaux dans une BDF



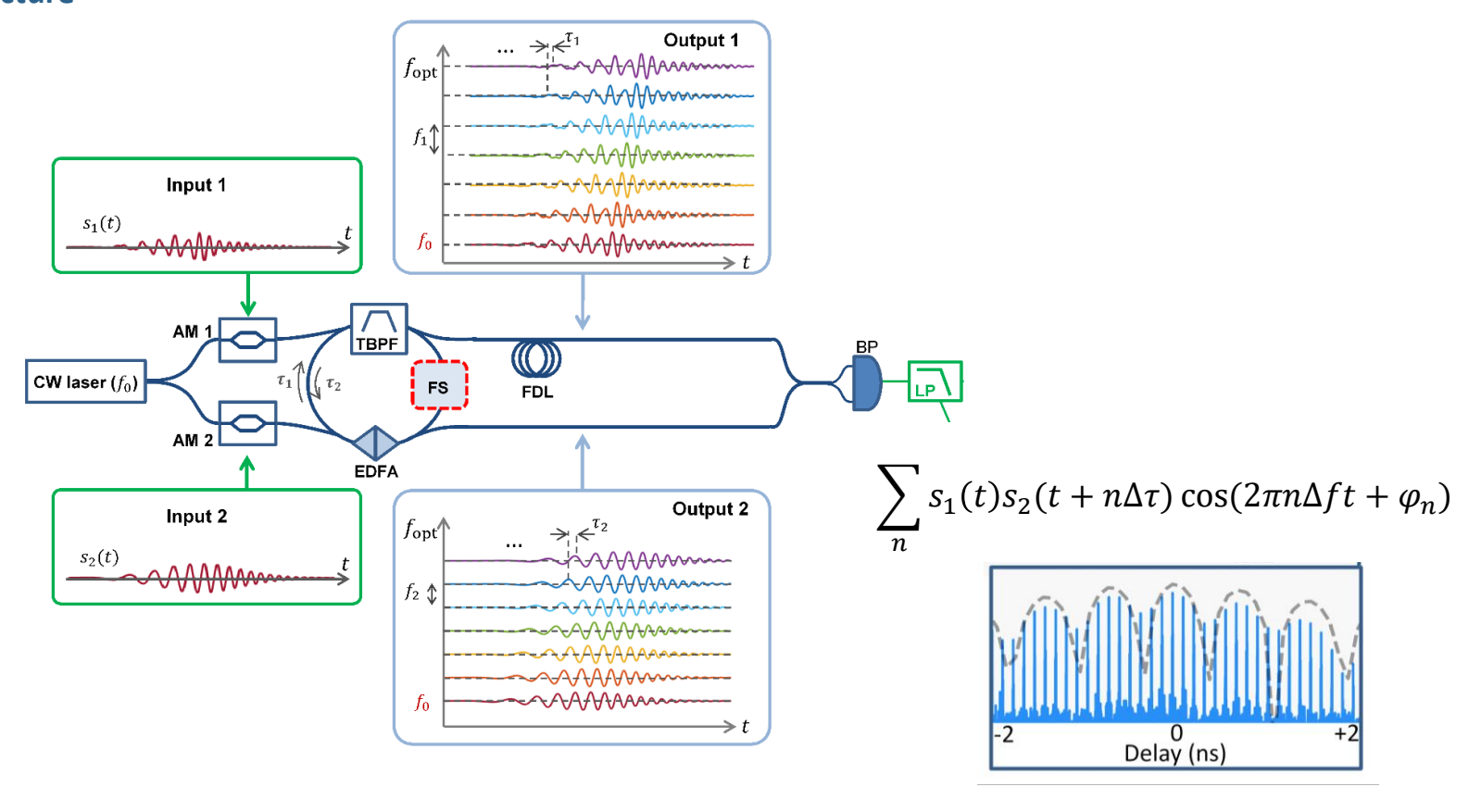
BDF #1 produit des répliques de  $s_1(t)$ La réplique #n est retardée de  $n\tau_1$  et décalée en fréquence de  $nf_1$ 

BDF #2 produit des répliques de  $s_2(t)$  La réplique #n est retardée de  $n au_2$  et décalée en fréquence de  $nf_2$ 

foton

## Corrélation de signaux dans une BDF

#### **Architecture**

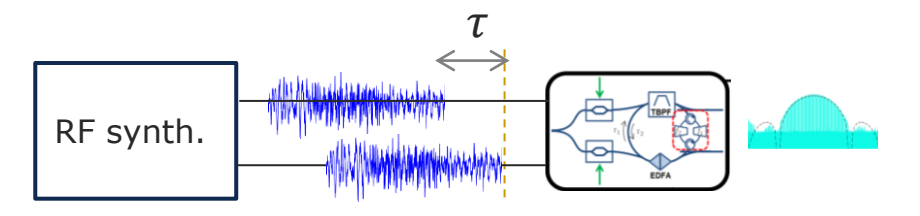


La composante fréquentielle à  $n\Delta f$  donne la valeur de la FCC à  $n\Delta \tau$ 

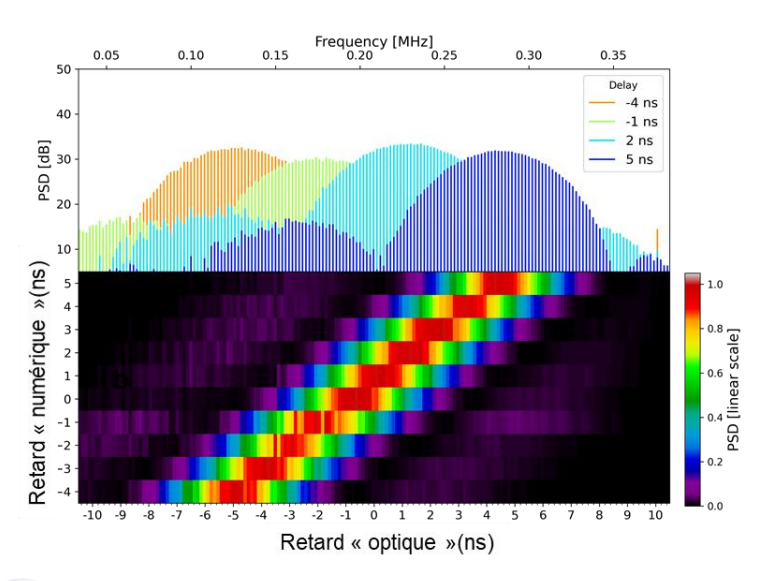


## Mesure de retards temporel

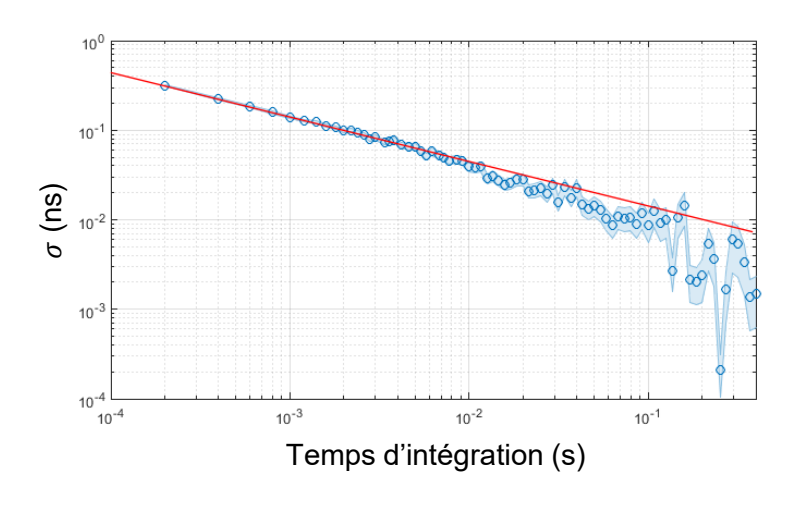
#### **Principe**



Deux versions retardées du même signal (120 MHz BW) sont envoyées vers le corrélateur.



#### Précision sur la mesure de retards

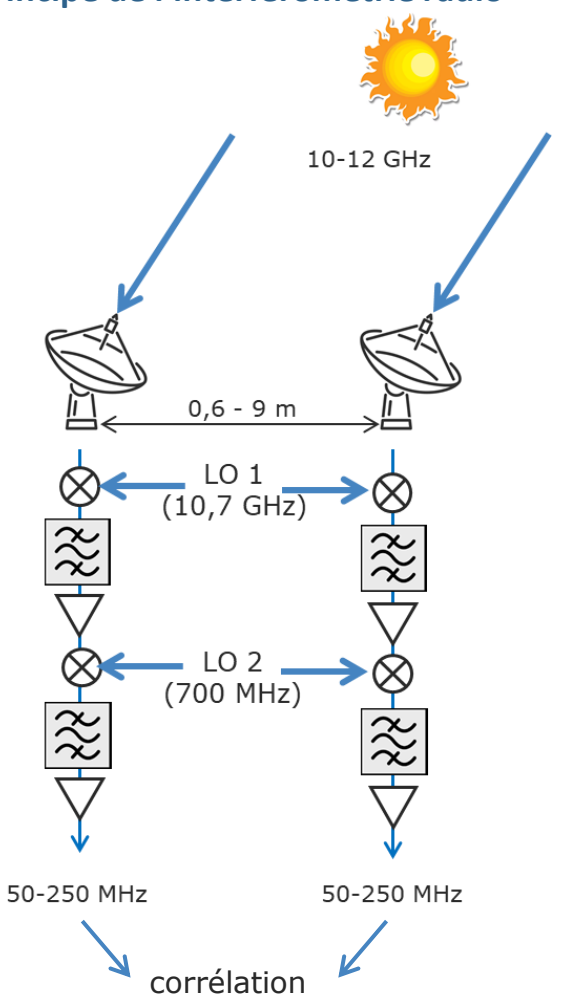


Précision: 10 ps (100 ms intégration) << 8,3 ns (temps de cohérence du signal d'entrée)



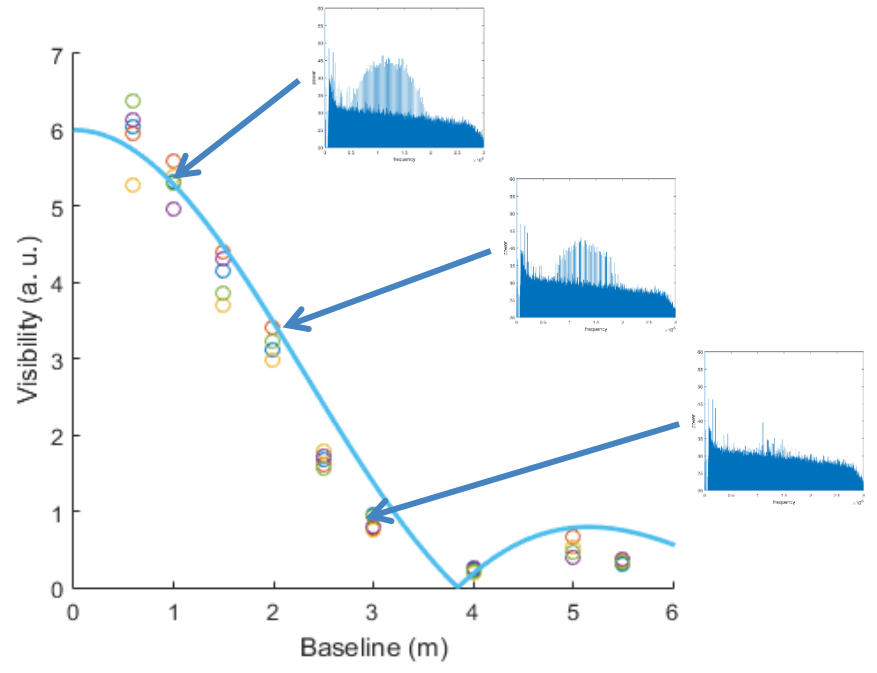
## Expérience 13cm (Grenoble 2022, Rennes 2024)

#### Principe de l'interférométrie radio



#### Résultats expérimentaux (corrélation photonique)







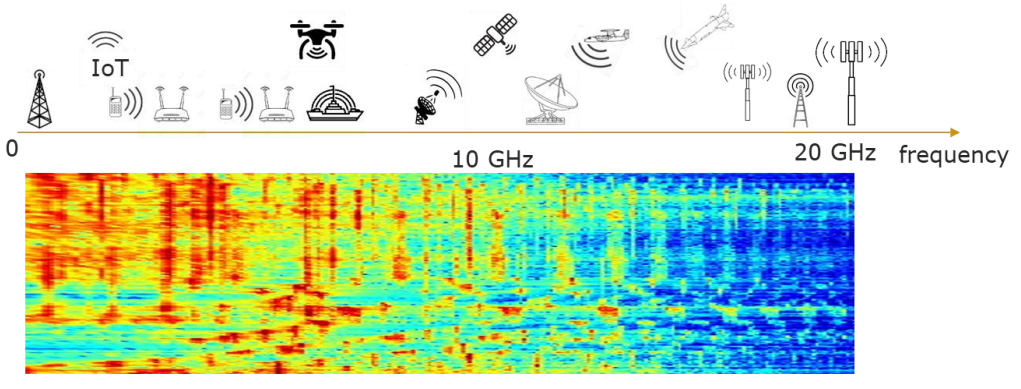


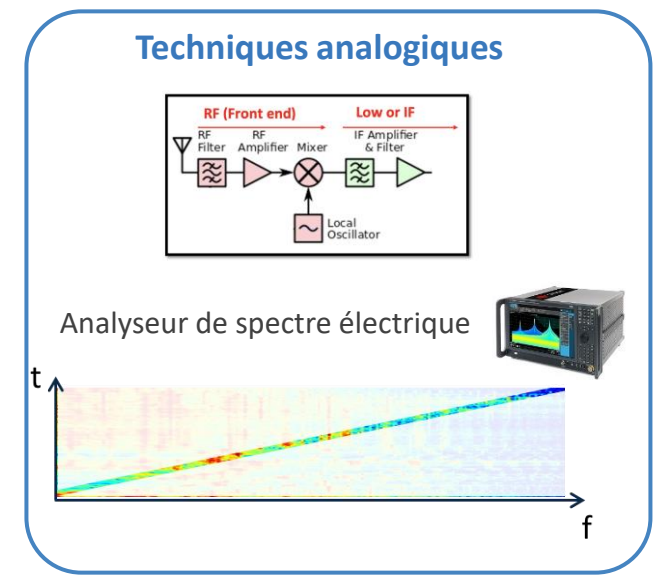
1)	Peignes de fréquences	s dans les boucles	à décalage	de fréquence
----	-----------------------	--------------------	------------	--------------

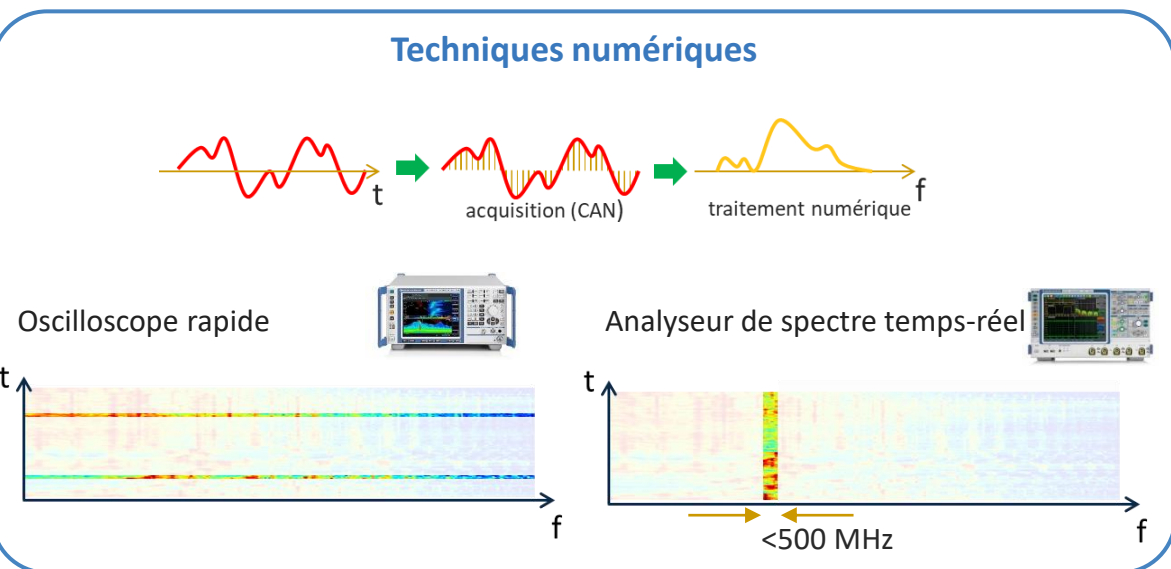
- 2) Dual-comb pour la télémétrie Lidar
- 3) Dual-comb pour les capteurs à fibre distribués
- 4) Corrélation de signaux large bande
- 5) Analyse spectrale de signaux large bande



## Analyse spectrale de signaux





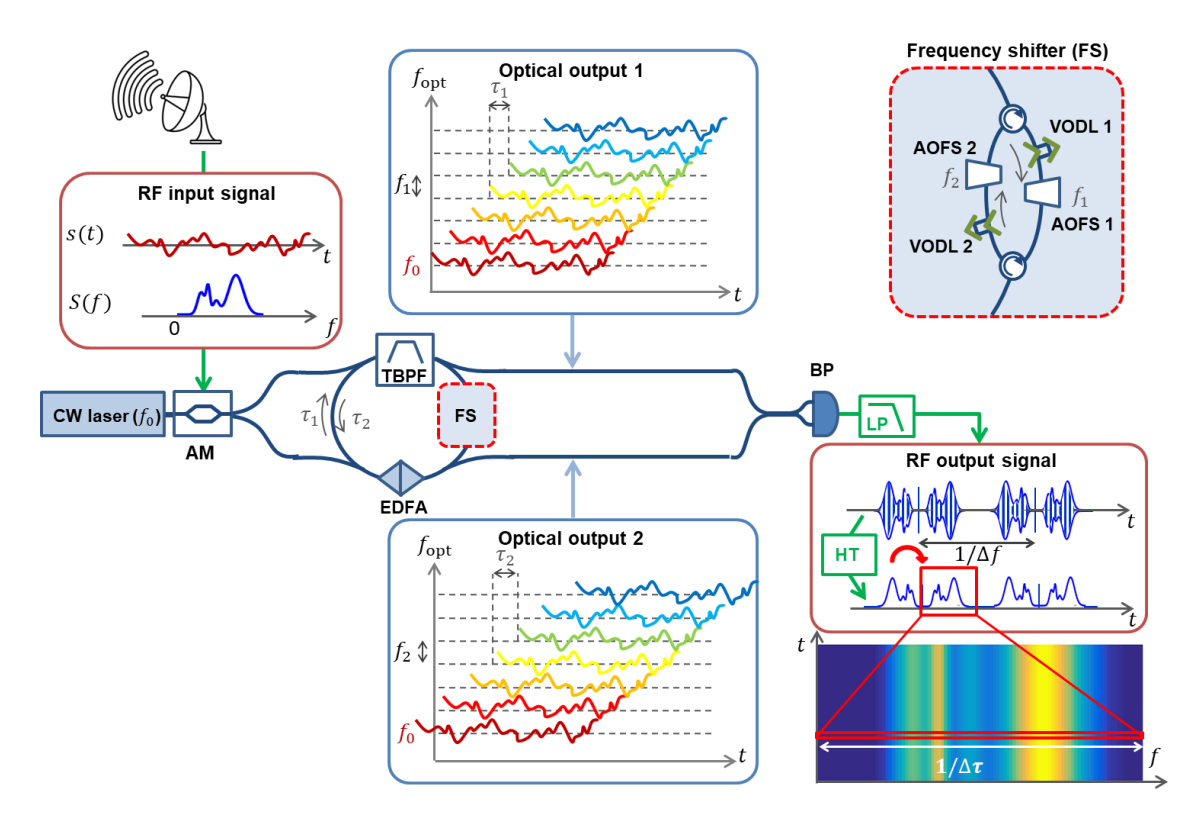


→ Comment faire l'analyse spectrale de signaux radio large bande (0-20 GHz), en temps réel (100% de probabilité d'interception) ?



## Analyse spectrale dans une BDF

#### **Architecture**



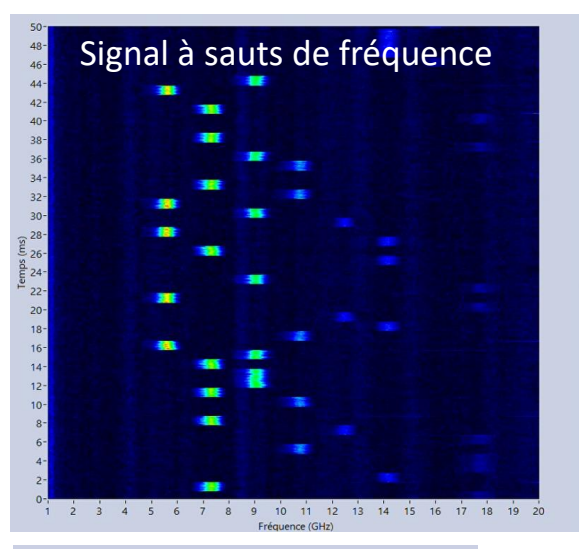
Entrée	TF trace temporelle	Trace temporelle
$s_1(t), s_2(t)$	Corrélation croisée (FCC)	Densité spectrale de puissance croisée (CPSD)
$s_1(t), s_1(t)$	Auto-corrélation	Densité spectrale de puissance (PSD)

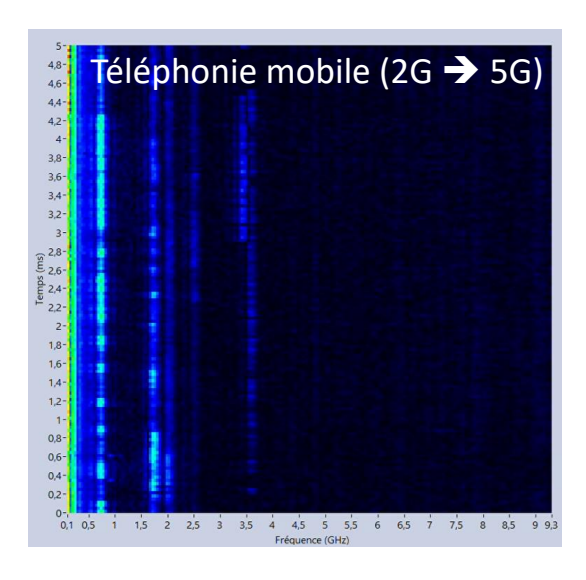
Projection fréquence-temps (« frequency-to-time mapping ») :

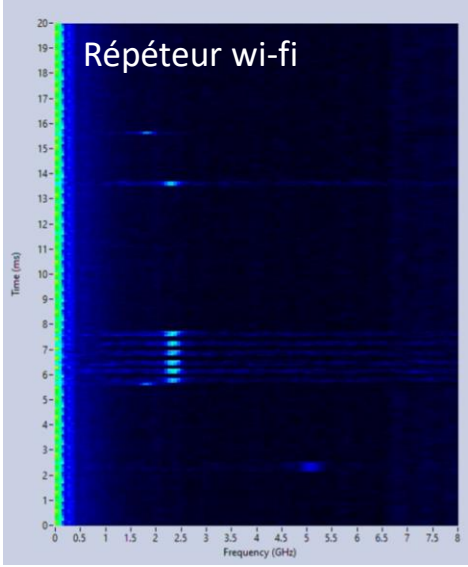
Le spectre du signal d'entrée se retrouve dans la trace temporelle du signal de sortie.



## Résultats expérimentaux







#### **Performances**

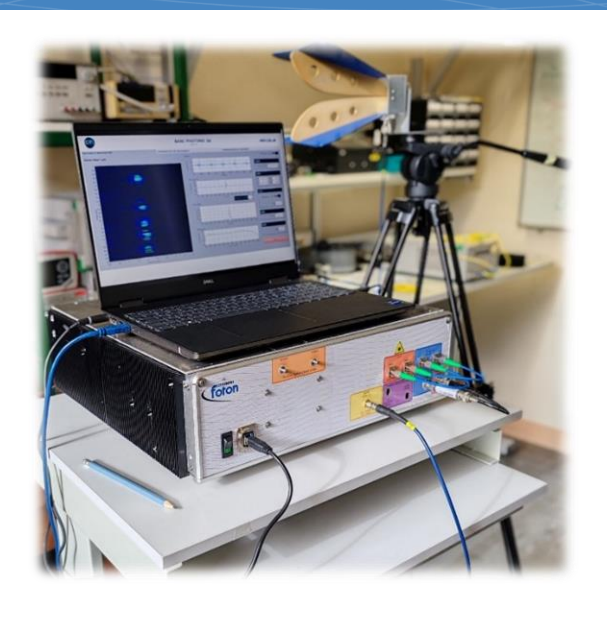
Largeur de bande	20 GHz
Dynamique (50 μs)	23 dB
Sensibilité	-18 dBm (RF input power)
Résolution fréquentielle	80 MHz
Résolution temporelle	50 μs
Probabilité d'interception	100 %
Données de sortie	10 MSa/s

Financement: Prématuration CNRS (Photonic ASP, 2020)





## Conclusion



- Réalisation d'un prototype compact (19 ")
- Plate-forme commune (double BDF) permettant de réaliser l'ensemble des fonctionnalités (applications capteurs, photonique micro-ondes)
- Limites intrinsèques (dynamique, SNR, nonlinéarité de la réponse) dues principalement à l'ASE / la saturation du milieu à gain

#### **LIPhy**

Côme Schnébelin Nithyanandan Kanagaraj

#### **Institut FOTON**

Louis Alliot de Borggraef Tituan Allain Marc Brunel Goulc'hen Loas Anthony Carré Cyril Hamel Steve Bouhier Ludovic Frein

#### **Thales TRT**

Vincent Billault Vincent Crozatier Guénolé Dandé

#### **IPAG**

Guillaume Bourdarot Jean-Philippe Berger

José Azaña Vicente Duran Carlos Fernandez-Pousa

